

УДК 541.64

О ДВУХЭТАПНОЙ СХЕМЕ АНАЛИЗА БИНАРНЫХ
СТАТИСТИЧЕСКИХ СОПОЛИМЕРОВ*В. А. Мягченков, В. Ф. Куренков, Е. В. Кузнецов,
А. К. Ваганова*

При обработке экспериментальных данных во многих работах без предварительного анализа постулируется постоянство относительных активностей мономеров реакции сополимеризации. Такой подход в отношении «особых» [1] систем является заведомо ошибочным и, как следствие этого, полученные формальной обработкой данных значения констант сополимеризации r_A и r_B являются по существу лишь текущими характеристиками процессов. Поэтому особую значимость приобретает вопрос, является ли конкретный процесс сополимеризации «классическим» или «особым». Наиболее прост и в то же время наименее надежен анализ диаграмм состава. При наличии систематизированных экспериментальных данных по зависимости $\alpha_A = f(\beta_A^\circ, \psi)$ (здесь ψ — степень конверсии, α_A и β_A° — весовое содержание компонента A в сополимере и в исходной мономерной смеси соответственно) и достаточно высокой точности в определении α_A и ψ в принципе можно вынести суждение о наличии или отсутствии зависимостей $k_{AA} / k_{AB} = f(\beta_A^\circ, \psi)$ и $k_{BB} / k_{BA} = f(\beta_A^\circ, \psi)$, где k_{AA} и k_{AB} — константы скорости и взаимодействия макрорадикалов с концевыми звеньями A и с мономерами A и B; k_{BB} и k_{BA} — то же с концевыми звеньями B и с мономерами B и A соответственно.

В этом направлении наиболее перспективно проводить обработку данных эксперимента по методике, предложенной Мортимером и Тидвеллом [2]. Однако и при такой обработке данных остается открытым вопрос об интерпретации отклонений $\alpha_A = f(\beta_A^\circ, \psi)$, а именно обусловлены ли эти отклонения аномальностью процесса сополимеризации или же являются следствием экспериментальных ошибок. Для достижения однозначности в этом вопросе необходимо, как минимум, тщательное соопоставление экспериментальных погрешностей при определении констант сополимеризации Δr_A и Δr_B с расчетными значениями этих величин. Значения Δr_A и Δr_B зависят главным образом от следующих факторов: от степени чистоты анализируемого сополимера; точности метода определения состава сополимера; абсолютных значений r_A и r_B ; точности определения ψ ; от величины мгновенной неоднородности по составу (влияние этого фактора регламентируется степенью полимеризации; для полимеров с молекулярным весом $M > 10^5$ эта зависимость для бинарной сополимеризации несущественна [3]) и от погрешности методики обработки экспериментальных данных, и эта ошибка, в свою очередь, косвенно зависит от значений r_A и r_B .

При корректном учете всех шести перечисленных факторов в расчетной оценке Δr_A и Δr_B и после сопоставления этой суммарной величины погрешности с величинами Δr_A и Δr_B , полученными формальной обработкой экспериментальных данных, можно сделать выводы о характерных особенностях процессов.

Гораздо более надежные суждения об особенностях процесса сополимеризации можно сделать при сопоставлении кривых распределения по составу. Ранее [4] отмечалось, что об аномальности процесса сополимеризации можно судить как по положению и форме, так и по ширине кривых распределения по составу. Последнее обстоятельство можно зафиксировать сопоставлением параметров количественной оценки неоднородности по составу F для экспериментальных кривых со значениями F для модельных систем [5].

$$F = \sum_{i=1}^k \omega_i a_i \left(\frac{\sum_{i=1}^k \omega_i a_i^2}{\sum_{i=1}^k \omega_i a_i} - \sum_{i=1}^k \omega_i a_i \right),$$

здесь k — число анализируемых фракций, ω_i — весовая доля фракций состава a_i — $-da \leq a_i \leq a_i + da$.

В работе [6] отмечается, что об особом характере сополимеризации можно судить непосредственно из анализа кривых распределения по составу (без использова-

ния модельных систем), так как информация, заключенная в самих кривых, оказывается достаточной для построения зависимостей

$$\frac{\beta_i}{1 - \beta_i} \left[\frac{M_A}{M_B} - \frac{1 - \alpha_i}{\alpha_i} \right] = f \left[\frac{(1 - \alpha_i) \beta_i^2}{(1 - \beta_i)^2 \alpha_i} \right],$$

здесь M_A и M_B — молекулярные веса мономеров А и В.

Линейность зависимости

$$\frac{\beta_i}{1 - \beta_i} \left[\frac{M_A}{M_B} - \frac{1 - \alpha_i}{\alpha_i} \right]$$

от $\beta_i^2(1 - \alpha_i)/\alpha_i(1 - \beta_i)^2$ свидетельствует о классическом характере процесса. Величина отрезка, отсекаемого по оси ординат, и значение тангенса угла наклона прямой однозначно определяют значения r_A и r_B . В то же время нелинейность этой зависимости является свидетельством аномальности процесса сополимеризации.

Изложенные общие соображения проиллюстрируем на конкретной модели. Для системы винилпирролидон — кротоновый альдегид по данным работы [7] $r_A = 0,5 \pm 0,1$; $r_B = 0,03 \pm 0,03$. Из совокупности допустимых значений r_A и r_B рассмотрим следующие крайние случаи: 1) $r_A = 0,6$; $r_B = 0$; 2) $r_A = 0,6$; $r_B = 0,06$; 3) $r_A = 0,4$; $r_B = 0$; 4) $r_A = 0,4$; $r_B = 0,06$.

Для определенности примем $\psi = 0,7$ для всех модельных систем, рассмотрение ограничим двумя составами исходной мономерной смеси $\beta_A^\circ = 0,8$ и $0,2$.

На рис. 1 приведены расчетные диаграммы составов для четырех модельных систем, а на рис. 2 — интегральные кривые распределения по составу (ИКРС), расчет которых произведен по методу Скейста (X_i — интегральная весовая доля i -й фракции). Из сопоставления данных рис. 1 и 2 можно сделать вывод о том, что для $\beta_A^\circ = 0,8$ и $\psi = 0,7$ допустимые значения средних составов для модельных ИКРС лежат в пределах от 0,195 до 0,225. А это означает, что все ИКРС, средневесовой состав которых находится в пределах

$0,195 \leq \sum_{i=1}^k \omega_i \alpha_i \leq 0,225$, формально удовлетворяют интегральному уравнению Майо — Льюиса для $r_A = 0,5 \pm 0,1$ и $r_B = 0,03 \pm 0,03$. На рис. 2 схематически показаны две

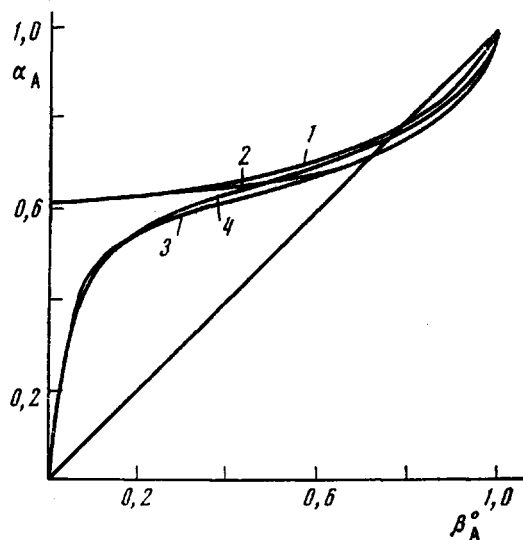


Рис. 1. Диаграммы составов для ряда модельных систем:

— $r_A = 0,6$; $r_B = 0$; 2 — $r_A = 0,4$; $r_B = 0$; 3 — $r_A = 0,6$; $r_B = 0,06$; 4 — $r_A = 0,4$; $r_B = 0,06$

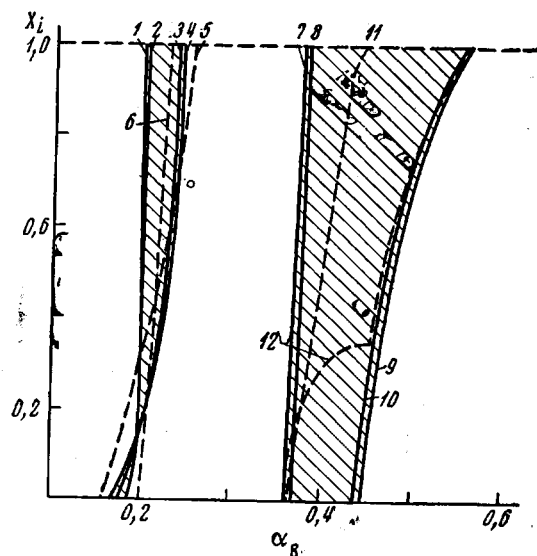


Рис. 2. Расчетные ИКРС для ряда модельных систем при $\psi = 0,7$:

1 — $r_A = 0,6$; $r_B = 0$; $\beta_A^\circ = 0,8$; 2 — $r_A = 0,6$; $r_B = 0,06$; $\beta_A^\circ = 0,8$; 3 — $r_A = 0,4$; $r_B = 0$; $\beta_A^\circ = 0,8$; 4 — $r_A = 0,4$; $r_B = 0,06$; $\beta_A^\circ = 0,8$; 7 — $r_A = 0,6$; $r_B = 0$; $\beta_A^\circ = 0,2$; 8 — $r_A = 0,4$; $r_B = 0$; $\beta_A^\circ = 0,2$; 9 — $r_A = 0,6$; $r_B = 0,06$; $\beta_A^\circ = 0,2$; 10 — $r_A = 0,4$; $r_B = 0,06$; $\beta_A^\circ = 0,2$. Кривые 5, 6 и 11, 12 — схематические

такие ИКРС (кривые 5 и 6). Для $\beta_A^\circ = 0,2$ область допустимых значений

$$\sum_{i=1}^k \omega_i \alpha_i$$

существенно шире (от 0,37 до 0,55). Отметим, что при переходе от точки азеотропа меняется и сама форма кривых (сравните кривые 7, 8 с кривыми 9, 10). Схематические кривые 11 и 12 формально также удовлетворяют уравнению Майо — Льюиса, если

оперировать лишь $\sum_{i=1}^k \omega_i \alpha_i$. Однако уже один вид кривой 12 (характерное бимодальное распределение) свидетельствует об особом характере процесса [8]. Естественно, что для кривых типа 12 схема Майо — Льюиса вообще неприменима. Эти наиболее общие рассуждения лишний раз свидетельствуют о том, что, оперируя лишь одними данными о $\sum_{i=1}^k \omega_i \alpha_i$, можно сделать ошибочные суждения о самом процессе сополимеризации. Вероятность ошибочных выводов возрастает для систем, где особый характер сополимеризации (в частности появление гетерофазности) проявляется лишь при некоторых фиксированных значениях β_B° . Следует подчеркнуть и еще одно важное преимущество анализа ИКРС — анализ одной кривой вблизи точки азеотропа может сразу уточнить и сами значения r_A и r_B . Так, для $\beta_B^\circ = 1 - \beta_A^\circ = 0,2$ выпуклость кривых 1—4 по отношению к оси абсцисс является однозначным свидетельством увеличения α_B по мере нарастания Φ . Для кривых 7—10 с увеличением Φ α_B уменьшается, и кривые вогнуты по отношению к оси абсцисс.

Значение параметра F для кривых 1—12 рис. 2

Кри- вые рис. 2	$\sum_{i=1}^k \omega_i \alpha_i$	$\left \frac{\sum_{i=1}^k \omega_i \alpha_i^2}{\sum_{i=1}^k \omega_i \alpha_i} \right $	$F \cdot 10^3$	Кри- вые рис. 2	$\sum_{i=1}^k \omega_i \alpha_i$	$\left \frac{\sum_{i=1}^k \omega_i \alpha_i^2}{\sum_{i=1}^k \omega_i \alpha_i} \right $	$F \cdot 10^3$
1	0,1991	0,1992	0,019	7	0,3715	0,3720	0,186
2	0,2025	0,2026	0,020	8	0,3770	0,3775	0,188
3	0,2206	0,2215	0,185	9	0,4828	0,4850	0,966
4	0,2223	0,2243	0,312	10	0,4899	0,4320	0,980
5	0,2166	0,2200	0,736	11	0,4033	0,4050	0,685
6	0,2166	0,2168	0,043	12	0,4606	0,4675	3,174

Об аномальности кривой 12 лишний раз свидетельствует относительно большое значение параметра F (таблица). Если процесс сополимеризации подчиняется классической схеме Майо — Льюиса, то анализируя ИКРС в области $0,7 \leq \beta_A^\circ \leq 0,81$, можно сделать выводы о том, какие из значений r_A и r_B предпочтительнее для описания процесса полимеризации. И в то же время отсутствие ИКРС с $F \approx 0$, $\Phi > 0,5$ в области $0,7 \leq \beta_A^\circ \leq 0,81$ должно вызвать чувство настороженности в отношении применимости «классической» системы Майо — Льюиса. При сравнении данных таблицы с ИКРС рис. 2 особенно отчетливо видно, что возможен целый набор кривых (в частности, кривая 12, являющаяся типичной для гетерофазного процесса сополимеризации), которые формально удовлетворяют (по значению $\alpha_A = \sum_{i=1}^k \omega_i \alpha_i$) схеме Майо — Льюиса, однако по существу эти кривые характеризуют нестационарный процесс сополимеризации, и поэтому попытки интерпретации данных экспериментов с помощью фиксированных r_A и r_B будут заведомо неправильными.

Обобщая изложенное, можно считать, что в общем случае анализа сополимерных систем первым приближением должно быть построение диаграммы состава в координатах α_A от β_A° и нахождение по этим данным средних значений \bar{r}_A и \bar{r}_B . На втором этапе исследований необходимо построение теоретических ИКРС по найденным \bar{r}_A и \bar{r}_B и сопоставление этих данных с экспериментальными ИКРС. Из положения, формы, ширины и других характеристик экспериментальных и модельных ИКРС можно сделать вывод о том, являются ли найденные \bar{r}_A и \bar{r}_B истинными константами или же процесс сополимеризации не укладывается в рамки схемы Майо — Льюиса. В последнем случае можно перейти к направлениям исследованиям по установлению причины появления аномалии. Такой двухэтапный подход к исследованию процесса сополимеризации несравненно более трудоемок по сравнению с одноэтапным, но зато он гарантирует от неверной оценки характерных особенностей процесса.

ВЫВОДЫ

Произведена сопоставленная оценка возможностей анализа диаграмм состава и двухэтапного анализа, когда на втором этапе исследований производится сопоставительная оценка экспериментальных и модельных интегральных кривых распределения по составу. Показано, что обычный одноэтапный подход не гарантирует против-

ошибочного суждения о характерных особенностях процесса сополимеризации, двухэтапный же анализ гарантирует от такой ошибки и позволяет уточнить значения \bar{r}_A и \bar{r}_B для классических систем.

Казанский филиал ВНИИСК
им. С. В. Лебедева
Казанский химико-технологический
институт им. С. М. Кирова

Поступила в редакцию
7 VI 1971

ЛИТЕРАТУРА

1. В. А. Мягченков, С. Я. Френкель, Успехи химии, **37**, 2247, 1968.
2. P. W. Tidwell, G. A. Mortimer, J. Polymer Sci., **A3**, 369, 1965.
3. G. Ham, Copolymerization, New York — London — Sidney, 1964.
4. В. А. Мягченков, Труды Казанского химико-технологич. ин-та, **40**, 287, 1969.
5. В. А. Мягченков, В. Ф. Куренков, С. Я. Френкель, Докл. АН СССР, **181**, 147, 1968.
6. В. А. Мягченков, С. Я. Френкель, Докл. АН СССР, **186**, 631, 1969.
7. С. Н. Ушаков, Л. Б. Трухманова, Т. М. Маркелова, В. А. Кропачев, Высокомолек. соед., **A9**, 999, 1967.
8. В. А. Мягченков, В. Ф. Куренков, J. Polymer Sci., **7**, A-1, 3279, 1969.

ON THE TWO-STAGE SCHEME OF ANALYSIS OF BINARY RANDOM COPOLYMERS

*V. A. Myagchenkov, V. F. Kurenkov, E. V. Kuznetsov,
A. K. Vagapova*

Summary

The potentialities of the composition diagrams analysis and of the two-stage analysis involving in the second stage a correlation of the experimental and model integral curves of the composition distribution are compared. Unlike the one-stage scheme of analysis, the two-stage analysis allows to avoid an erroneous assumption about the «peculiar» or «classic» nature of the copolymerization process.